

2 维 $O(3)$ 非线性 σ 模型的解析研究*

赵佩英

(中国科学院高能物理研究所 北京 100039)

1993-12-16 收稿

摘 要

在格点规范理论中应用变分累积展开方法,解析计算了2维 $O(3)$ 非线性 σ 模型的内能和比热,并将计算结果和 Monte Carlo 数据进行了比较。

关键词 格点规范理论, $O(3)$ 非线性 σ 模型,变分累积展开,内能,比热。

$O(N)$ 非线性 σ 模型很早就引起了人们的重视,这是因为 Wegner 和 Migdal^[1] 猜测2维 $O(N)$ 非线性 σ 模型与4维 $SU(N)$ 规范理论之间有很大的相似性,两者有相同的重整化群方程结构^[2],当 $N \geq 3$ 时,都是渐近自由的^[3],两者有同一类 Instanton^[4]。因此对较为简单的2维 $O(N)$ 非线性 σ 模型的研究成为人们探求更为复杂的4维 $SU(N)$ 规范模型性质的重要手段。

2维 $O(3)$ 非线性 σ 模型是最简单的自由场理论,目前已有几组人用 Monte Carlo 数值模拟方法^[5]给出它的内能和比热。本文用解析的方法——变分累积展开的方法研究这个模型的性质,计算它的内能和比热。

把 $O(3)$ 非线性 σ 模型写到格点上,标准的作用量是具有 $O(3)$ 对称性质的自旋模型

$$S = -\beta \sum_n \sum_{\mu=1}^2 \sigma(n) \sigma(n + \hat{\mu}) \quad (1)$$

其中 $\beta = \frac{1}{T}$, $\hat{\mu}$ 是单位矢量, σ 是定义在格点 n 上的矢量,有三个分量

$$\sigma(n) = \begin{pmatrix} \sigma_1(n) \\ \sigma_2(n) \\ \sigma_3(n) \end{pmatrix}$$

并满足 $\sum_{a=1}^3 \sigma_a(n) \sigma_a(n) = 1$ 。体系的配分函数

$$Z = \int [d\sigma] e^{-S} \quad (2)$$

自由能 F 定义为

* 国家自然科学基金资助。

$$F = -\frac{1}{N_i} \ln Z \quad (3)$$

这里 N_i 是格点上全部点的数目。

我们要计算每点的平均内能

$$E = \frac{\partial F}{\partial \beta} \quad (4)$$

和比热

$$c = \frac{\partial E}{\partial T} \quad (5)$$

配分函数 Z 的计算是很重要的, 因为体系的其它物理量都可以通过它求出来。但要解析计算它是很困难的, 为此引入等效作用量 $S_0(J)$

$$S_0 = - \sum_i J_i \sigma_i \quad (6)$$

选取 J 作为变分参数, 它是一个三维矢量

$$J = \begin{pmatrix} J_1 \\ J_2 \\ J_3 \end{pmatrix}$$

原则上 J 与格点位置有关, 作为一种近似, 取各点的变分值相同。可以证明自由能 F 只与 $|J|$ 相关, 与其方向无关。为了计算方便, 取 J 在第一方向上, 即 $|J| = J_1, J_2 = J_3 = 0$, 则等效作用量 S_0 变为

$$S_0 = - \sum_i J_{1i} \sigma_{1i} \quad (7)$$

引入 S_0 后, 配分函数可改写成

$$Z = Z_0 \langle e^{S_0 - S} \rangle_0 = Z_0 \exp \left(\sum_{n=1}^{\infty} \frac{1}{n!} K_n \right) \quad (8)$$

计算结果应与变分参数 J 无关, 但由于实际计算时只能求得累积展开的有限项(本文取到 K_3 项), 为此通过取自由能极小值条件定出 J , 再将确定的 J 代入所要计算的各物理量。(8)式中

$$Z_0 \equiv \int [d\sigma] e^{-S_0} = (FI)^{N_i} \quad (9)$$

$$FI = \int d\sigma_i e^{J_i \sigma_i}$$

因为场的模是 1, 所以对于场的积分实际上是在单位球面上的积分。

$$\begin{aligned} FI &= \int_0^{2\pi} d\theta \int_0^{\pi} d\phi \sin \phi e^{J \cos \phi} \\ &= 4\pi \frac{\text{sh} J}{J} \end{aligned} \quad (10)$$

$$\langle \dots \rangle_0 \equiv \frac{1}{Z_0} \int [d\sigma] e^{-S_0} (\dots)$$

$$\begin{aligned}
 K_1 &= \langle S_0 - S \rangle_0 \\
 &= \beta N_i d \langle \downarrow \rangle_0 - N_i \langle \cdot \rangle_0 \\
 K_2 &= \langle (S_0 - S)^2 \rangle_0 - \langle S_0 - S \rangle_0^2 \\
 &= \beta^2 N_i d [\langle \downarrow \downarrow \rangle_0 - \langle \downarrow \rangle_0^2] \\
 &\quad + \beta^2 2 N_i d (2d - 1) [\langle \downarrow \rightleftharpoons \rangle_0 - \langle \downarrow \rangle_0^2] \\
 &\quad - \beta^4 N_i d [\langle \downarrow \cdot \rangle_0 - \langle \downarrow \rangle_0 \langle \cdot \rangle_0] \\
 &\quad + N_i [\langle \cdot \cdot \rangle_0 - \langle \cdot \rangle_0^2] \\
 K_3 &= \dots
 \end{aligned} \tag{11}$$

K_n 中的每一项都是可解的, 而且只有连接图形才有贡献. 例如其中一些图形的贡献是

$$\begin{aligned}
 \langle \downarrow_i^j \rangle_0 &= \langle \sigma_i \sigma_j \rangle_0 = \langle \sigma_1 \rangle_0^2 \\
 \langle \bullet_i \rangle_0 &= \langle J_i \sigma_i \rangle_0 = J \langle \sigma_1 \rangle_0 \\
 \langle \downarrow_i^j \downarrow_i^k \rangle_0 &= \langle (\sigma_i \sigma_j)(\sigma_i \sigma_k) \rangle_0 = \langle \sigma_1^2 \rangle_0^2 + \langle \sigma_2^2 \rangle_0^2 + \langle \sigma_3^2 \rangle_0^2 \\
 \langle \downarrow_i^k \rightleftharpoons_j \rangle_0 &= \langle (\sigma_i \sigma_j)(\sigma_i \sigma_k) \rangle_0 \\
 &= \langle \sigma_1^2 \rangle_0 \langle \sigma_1^2 \rangle_0 \langle \sigma_1 \rangle_0 + \langle \sigma_1 \rangle_0^2 (\langle \sigma_2^2 \rangle_0^2 + \langle \sigma_3^2 \rangle_0^2)
 \end{aligned} \tag{12}$$

上式中的每个量都是可以解析计算的, 如

$$\begin{aligned}
 \langle \sigma_1 \rangle_0 &= -\frac{1}{J} + \text{cth}J \\
 \langle \sigma_1^2 \rangle_0 &= 1 + \frac{2}{J^2} - \frac{2}{J} \text{cth}J
 \end{aligned}$$

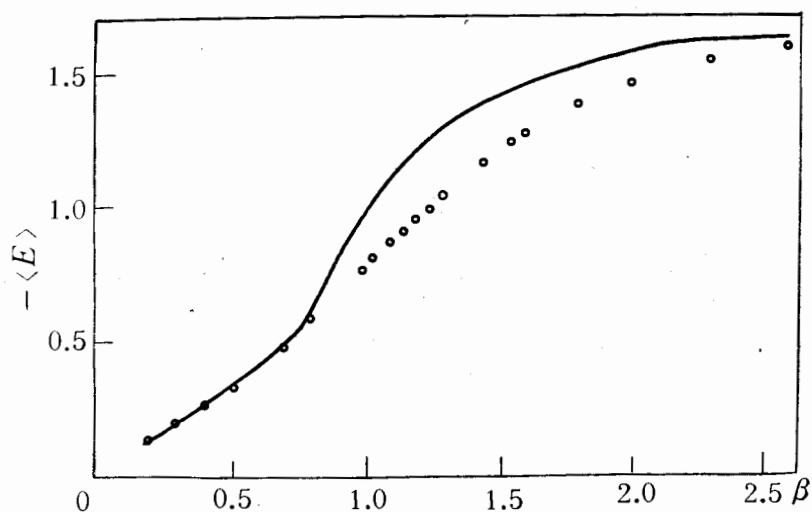


图 1 平均内能

圆点表示 MC 数据, 来自文献[4], 实线是本文的结果.

$$\begin{aligned}\langle\sigma_2^2\rangle_0 &= \frac{1}{J} \operatorname{cth} J - \frac{1}{J^2} \\ \langle\sigma_3^2\rangle_0 &= \frac{1}{J} \operatorname{cth} J - \frac{1}{J^2} \\ \langle\sigma_1^3\rangle_0 &= -\frac{6}{J^3} + \frac{6}{J^2} \operatorname{cth} J - \frac{3}{J} + \operatorname{cth} J\end{aligned}\quad (13)$$

通过以上运算,可以得到2维 $O(3)$ 非线性 σ 模型的内能和比热,如图1和2所示。图

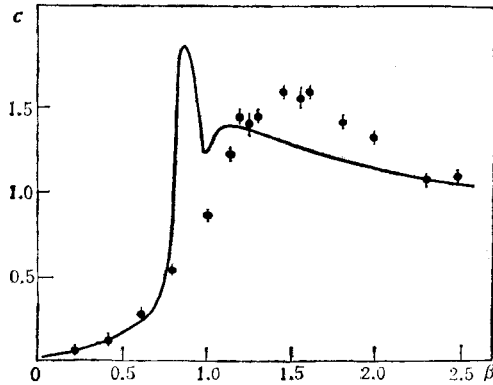


图2 比热

点表示 MC 数据,来自文献[4],实线是本文的结果。

2 中的比热峰对应着曲线 $E(\beta)$ 从强耦合到弱耦合区域之间的变化,并非相变^[4]。比热峰的出现可能是作用量特殊选取(为 Wilson 作用量)的结果。可以看到,本文的结果与 Monte Carlo 数据只是在 β 的中间区域有偏差。随着累积展开级数的增高,效果可能会好些。另外本文是用一阶自由能的极小值条件

$$\left(\frac{\partial F_1}{\partial J} = 0, \quad \frac{\partial^2 F_1}{\partial J^2} > 0\right)$$

确定变分参数 J , 我们正在计算用高阶自由能的极小值条件确定 J 的结果。同时猜测随着时空维数和 N 的增加,所得到的结果可能会更接近 Monte Carlo 数据。我们很快会给出 $O(4)$, $O(5)$ 非线性 σ 模型的计算结果。

感谢吴济民同志有益的讨论和帮助。

感谢吴济民同志有益的讨论和帮助。

参 考 文 献

- [1] F. Wegner, *J. Math. Phys.*, **12**(1971) 2259; A. A. Migdal, *ЖЭТФ* **69**(1975) 810; *JETP* **42**(1975) 413; *ЖЭТФ* **69**(1975) 1457; *JETP* **42**(1975) 743.
- [2] L. P. Kadanoff, *Ann. Phys.*, **100**(1976) 359; *Rev. Mod. Phys.*, **49**(1977) 267.
- [3] E. Brezin, J. Zinn-Justin, *Phys. Rev.*, **B14**(1976) 3110.
- [4] G. Martinelli, G. Parisi, R. Petronzio, *Phys. Lett.*, **100B**(1981) 485; M. Namiki, I. Ohba, K. Okano et al., *Prog. Theor. Phys.*, **73**(1985) 186; U. Wolff, *Nucl. Phys.*, **B334** (1990) 581; J. Apostolakis, C. F. Baillie, G. C. Fox, *Phys. Rev.*, **D43**(1991) 2687.
- [5] C. M. Wu, Z. K. Zhu, P. Y. Zhao et al., *Phys. Lett.*, **216B**(1989) 381.

The Analytical Approach for the Two-dimensional $O(3)$ Non-linear σ Model

Zhao Peiying

(Institute of High Energy Physics, The Chinese Academy of Sciences, Beijing 100039)

Received 16 December 1993

Abstract

In the lattice gauge theory, by using the variational cumulant expansion, we calculate the internal energy and specific heat for the two-dimensional $O(3)$ non-linear σ model. A comparison with Monte Carlo data is also presented.

Key words lattice gauge theory, $O(3)$ non-linear σ model, variational cumulant expansion, internal energy, specific heat.